

تعیین پارامترهای دزیمتریک چشممه جدید برای تراپی ایریدیوم-۱۹۲ توسط

دزیمتری گرمالیانی (TLD)

وحید لهرابیان^{۱*}، فرزام کبیری^۱، شهاب شبیانی^۲، سید محمود رضا آقامیری^۱ و حسین پوریگی^۲

^۱دانشگاه شهید بهشتی، تهران، ایران.

^۲پژوهشگاه علوم و فنون هسته‌ای، سازمان انرژی اتمی، تهران، ایران.

*تهران، دانشگاه شهید بهشتی، دانشکده مهندسی هسته‌ای، گروه پرتویزشکی، کد پستی: ۱۹۸۳۹-۶۹۴۱۱

پست الکترونیکی: vahidlohrabian@yahoo.com

چکیده

دانه‌های رادیواکتیو ید-۱۲۵ و ایریدیوم-۱۹۲ به طور گسترده برای کاشت درون بافتی استفاده می‌شوند. ایریدیوم-۱۹۲ یکی از مهم‌ترین چشممه‌هایی است که غالباً در برای تراپی استفاده می‌شود. تا کنون چندین مدل تجاری از این نوع چشممه برای کاربردهای آنکولوزی تابش کلینیکی شناخته شده است. هدف از مطالعه حاضر تعیین پارامترهای دزیمتری این مدل چشممه جدید PDR است. مشخصه‌های دزیمتری ایریدیوم-۱۹۲ شامل ثابت آهنگ در، تابع در شعاعی و تابع ناهمسانگردی دو بعدی در فانتوم پلکسی گلاس با استفاده از TLD تعیین شدند. ثابت آهنگ در $1/13 \pm 0/07$ به دست آمد. نتایج این مطالعه مشخصه‌های دزیمتری این چشممه برای تراپی جدید را نشان داده‌اند که با دیگر چشممه‌های تجاری در دسترس، قابل مقایسه هستند.

کلیدواژگان: دزیمتر TLD، برای تراپی، فانتوم جامد، پارامترهای دزیمتریک، چشممه Ir-192

۱. مقدمه

روش‌های درمان مثل جراحی و تله‌تراپی، کاهش آسیب به قسمت‌های سالم دیگر بافت و از بین رفتن فرصت ترمیم سلول‌های سرطانی است [۱]. چشممه‌های برای تراپی بر اساس آهنگ در تقسیم‌بندی می‌شوند [۲]. چشممه HDR با آهنگ در فراتر از ۱۲ گری بر ساعت و چشممه PDR با آهنگ در محدوده بین ۰/۵ تا ۱ گری بر ساعت تعریف می‌شود [۲].

برای تراپی یکی از راه‌های درمان تومورهای بدخیم است. برای تراپی با استفاده از چشممه‌هایی که فوتون‌های با انرژی متوسط گسیل می‌کنند، یکی از مهم‌ترین روش‌ها برای درمان تومورهای مغزی است. از مزایای این روش نسبت به دیگر

و پلاتین که با فلز پلاتین به صورت یک پوشش خارجی احاطه شده است. اکتیویته چشمہ مورد استفاده در این تحقیق ۱۴۰ سانتی گری است. روکش فلزی برای جذب پرتوهای بتا در نظر گرفته شد. این چشمہ طی فرآیند فعال‌سازی نوترونی توسط راکتور تحقیقاتی تهران ۵ مگاوات فعال شد. مهم‌ترین روش واپاشی ایریدیوم- گسیل بتای منفی و انتقال به حالت برانگیخته بوده و برآورده نیمه عمر آن در محدوده بین ۷۳/۸ تا ۷۴/۲ روز قرار دارد.

چشمہ مورد استفاده در این تحقیق به صورت شکل ۱ و طیف انرژی فوتون ایریدیوم- ۱۹۲ مطابق دستور العمل TG-43 دارای ۸ گاما با فراوانی‌های مختلف مطابق جدول ۱ است.

جدول (۱): طیف انرژی فوتون‌های چشمہ ایریدیوم.

انرژی فوتون	فروپاشی
(کیلو الکترون‌ولت)	به ازای هر واپاشی
۰/۲۹۶	۰/۲۹۰
۰/۳۰۸	۰/۲۹۷
۰/۳۱۷	۰/۸۲۸
۰/۴۶۸	۰/۴۷۸
۰/۴۸۵	۰/۰۳۱۶
۰/۵۸۹	۰/۰۴۵۲
۰/۶۰۴	۰/۰۸۱۸
۰/۶۱۲	۰/۰۵۳۳

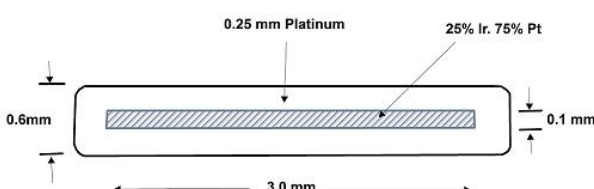
پروتکل مربوط به دزیمتری این چشمہ‌ها تا قبل سال ۱۹۹۵ چشمہ‌های فعال را با تقریب نقطه‌ای در نظر می‌گرفت [۲]. چشمہ‌های برآکی تراپی از لحاظ ساختار به ندرت کروی بوده و به دلیل خودجذبی تابش در ساختار داخل چشمہ، همیشه دارای ناهمسان‌گردی بوده و به همین دلیل استفاده از تقریب نقطه‌ای برای این نوع چشمہ‌ها نادرست است [۲]. مطابق پروتکل دزیمتری TG-43 توزیع دز واقعی هر چشمہ برآکی تراپی از اندازه‌گیری دز در داخل ماده معادل آب تعیین می‌شود [۲]. برای بهدست آوردن توزیع دز در اطراف هر چشمہ برآکی تراپی، پروتکل TG-43 روابطی را برای محاسبه دز پیرامون چشمہ‌ها با ساختار واقعی خود (نه با تقریب نقطه‌ای) و در داخل فانتوم به منظور دست‌یابی به توابع دزیمتری جدید ارائه کرده است [۳]. توابع جدید با تغییر ساختار چشمہ و هندسه آن، همچنین طیف فوتون اولیه و ماده مورد استفاده به عنوان فانتوم تغییر می‌کنند، بنابراین انواع چشمہ‌ها خصوصیات منحصر به فردی دارند [۳].

در این تحقیق با توجه به رابطه‌ی پیشنهادی از طرف پروتکل TG-43، پارامترهای دزیمتری یک چشمہ برآکی تراپی جدید PDR شامل تابع ناهمسان‌گردی، تابع دز شعاعی و ثابت آهنگ دز مورد بررسی قرار گرفت.

۲. مواد و روش‌ها

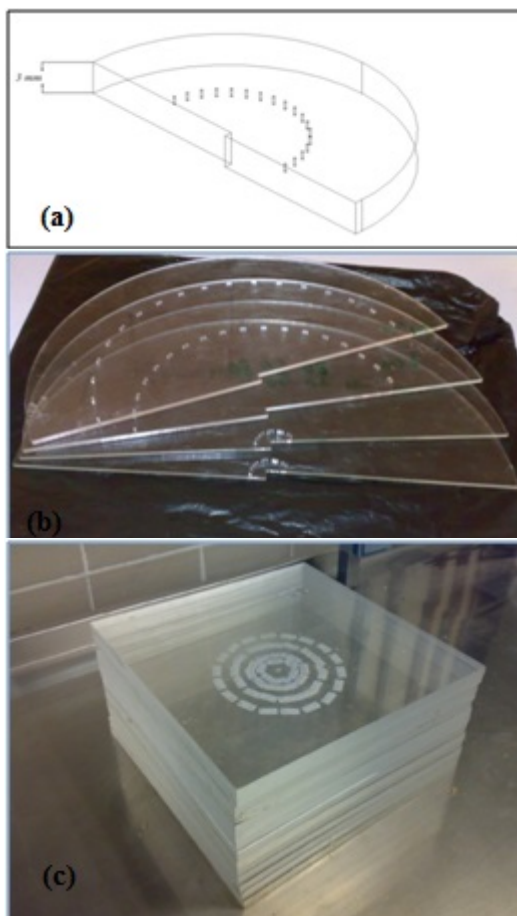
۲.۱. مشخصات چشمہ

آزمایشات بر روی چشمہ ایریدیوم- ۱۹۲ انجام گرفت که ساخت سازمان انرژی اتمی ایران می‌باشد. ابعاد کلی چشمہ در حالت کپسول شده ۷/۲ میلی‌متر طول و ۱/۱۲ میلی‌متر قطر می‌باشد. طول قسمت فعال (دانه) ۳ میلی‌متر و عرض آن ۰/۶ میلی‌متر می‌باشد. پیکربندی داخل چشمہ شامل یک ضخامت در حدود ۰/۱۵ میلی‌متر می‌باشد که ترکیبی از فلزات ایریدیوم



شکل (۱): هندسه چشمہ ایریدیوم مورد آزمایش.

گردیده که کمترین همپوشانی را روی یکدیگر داشته باشد. در طول فرآیند اندازه‌گیری، چشمه و آشکارسازها به کمک قطعاتی مکعبی شکل از جنس پلکسی‌گلاس احاطه شدند تا شرایط پراکنده‌گی کامل (full scattering) برای فوتون‌های ساطع شده به‌طور کامل برقرار گردد. مطابق شکل زیر:



شکل (۲): **(a)** طرح‌واره یک قسمت از پازل فانتوم، **(b)** فانتوم برش داده شده، **(c)** طرح‌واره فانتوم در شرایط آزمایش.

۳.۲. ثابت آهنگ دز چشمه (Λ)

براساس TG-43 تهیه شده در سال ۲۰۰۴ [۸] آهنگ دز بر اساس رابطه ۱ محاسبه می‌گردد:

$$\dot{D} = S_K \Lambda \frac{G_L(r, \theta)}{G_L(r_0, \theta_0)} g_L(r) F(r, \theta) \quad (1)$$

۲.۲. دزیمتر و فانتوم مورد استفاده

نوع آشکارساز مورد استفاده در این تحقیق LiF:Mg,Ti (TLD-100, Harshaw) مکعب، برای اندازه‌گیری دز در داخل فانتوم، می‌باشد. جهت قرائت نمونه‌ها از آشکارساز با مدل 4000 Harshaw استفاده شد. برای کالیبراسیون آشکارسازها از چشمه کبالت-۶۰ استاندارد موجود در مرکز SSDL کرج استفاده شد.

طراحی و انتخاب یک فانتوم کالیبراسیون یا دزیمتری باید به نحوی صورت پذیرد که:

۱. ابعاد فانتوم به‌طور کامل پوشش‌دهنده فرآیندهای پراکنده‌گی وجود آمده باشد.

۲. مواد ساختاری فانتوم باید حتی‌الامکان معادل بافت باشد که با توجه به این امر (از لحاظ عدد اتمی مؤثر) آب، پلی-استیرن، پلکسی‌گلاس و دیگر مواد معادل بافت در ساخت فانتوم دزیمتری کاربرد فراوان دارند.

پلی‌متیل‌متاکریلات (PMMA) یا پلکسی‌گلاس یکی از چندین نوع مواد با عدد اتمی مؤثر پایین ($Z_{\text{eff}} = 7/5$) است که برای انجام کارهای دزیمتری مناسب است. در این پروژه قسمت میزبان (host) فانتوم از جنس پلکسی‌گلاس که آشکارسازها در آن کاشته می‌شوند به ابعاد $30 \times 30 \times 30$ می‌باشد. تعدادی حفره در قسمت فوقانی فانتوم به گونه‌ای حفره‌گذاری شدند که آشکارسازها به صورت عمودی در داخل آن‌ها قرار گیرند. حفره‌های ایجاد شده روی سطح پلکسی‌گلاس در ابتدا با Corel طراحی گردید و سپس با دستگاه لیزر با دقیقاً $1/0$ میلی‌متر انجام شد. در این حالت گردایان دز موجود قابل صرف‌نظر کردن می‌باشد. لازم به ذکر است به منظور اجتناب از اثر هم‌پوشانی آشکارسازها بر روی یکدیگر، حفره‌های ایجادی روی سطح فانتوم طوری طراحی

پس از به دست آوردن و منطبق کردن نقاط صفحه قطبی بر صفحه مختصات، مقادیر x و y در روابط زیر قرار می‌گیرد:

$$G(r, \theta) = \frac{1}{r^2} \text{po int-source} \quad (6)$$

$$G(r, \theta) = \frac{\tan^{-1}\left(\frac{x+L/2}{y}\right) - \tan^{-1}\left(\frac{x-L/2}{y}\right)}{Ly} \text{line-source}$$

که در ادامه، جدول مقادیر آن ارائه خواهد شد.

۵.۲. تابع دز شعاعی ($g(r)$)

تابع دز شعاعی، جذب و پراکندگی فوتون در اطراف چشم را در داخل بافت یا فانتوم در طول محور چشم نشان می‌دهد. با استفاده از این تعریف و با توجه به AAPM TG43U1، رابطه تابع دز شعاعی به صورت زیر تعریف می‌گردد:

$$g(r) = \frac{\dot{D}(r, \pi/2) G(r, \pi/2)}{\dot{D}(1, \pi/2) G(1, \pi/2)} \quad (7)$$

در این رابطه عبارت‌های $\dot{D}(r, \pi/2)$ و $\dot{D}(1, \pi/2)$ مقادیر آهنگ دز در فاصله‌های ۱ و r سانتی‌متر و زاویه ۹۰ درجه هستند و همچنین عبارت‌های $G(r, \pi/2)$ و $G(1, \pi/2)$ مربوط به توابع هندسه در فواصل ۱ و r سانتی‌متر و زاویه ۹۰ درجه است.

۶.۲. تابع ناهمسان‌گردی ($F(r, \Theta)$)

تابع ناهمسان‌گردی تغییرات دز اطراف چشم به واسطه توزیع رادیوакتیویته داخل چشم، جذب و پراکندگی فوتون‌ها در محیط فانتوم و تقارن ساختاری چشم نسبت به زاویه قطبی ۹۰ درجه و فواصل شعاعی مشابه را نشان می‌دهد. این تابع از

که S_k کرمای هوای چشم، Λ ثابت آهنگ دز، G_L تابع هندسه چشم، g_L تابع دز شعاعی و F تابع ناهمسان‌گردی است.

با توجه به تعریف ثابت آهنگ دز که به صورت نسبت آهنگ دز در فاصله ۱ سانتی‌متر و زاویه ۹۰ درجه، $\dot{D}(1, \pi/2)$ ، بر قدرت کرمای هوای چشم تعریف می‌گردد، یکای ثابت آهنگ دز به صورت $\text{cGy cm}^2 \text{h}^{-1}$ می‌باشد، جایی که واحد قدرت کرمای چشم با U نشان داده می‌شود. از آنجایی که تابع دز شعاعی و تابع ناهمسان‌گردی در نقطه ۱ سانتی‌متر و زاویه ۹۰ درجه برابر یک هستند، مطابق با آن رابطه ثابت آهنگ دز (AAPM TG43U1, 2004) به صورت زیر است:

$$\Lambda = \frac{\dot{D}(1, \pi/2)}{S_k} \quad (2)$$

$$1U = 1\mu\text{Gy m}^2 \text{h}^{-1} = 1\text{cGy cm}^2 \text{h}^{-1} \quad (3)$$

۶.۴. تابع هندسه چشم ($G(r, \theta)$)

تابع هندسه چشم بیانگر اثر شکل فیزیکی ماده رادیوакتیو داخل چشم روی توزیع دز داده شده در یک نقطه می‌باشد. AAPM (TG43U1) تابع هندسه به وسیله روابط ارائه شده تعريف می‌گردد که در آن روابط L به صورت طول مؤثر چشم تعريف می‌شود. در این تحقیق طول مؤثر چشم $3/2$ میلی‌متر می‌باشد. برای به دست آوردن تابع هندسه چشم، باید با استفاده از روابط میان مختصات قطبی و مختصات دکارتی هر نقطه از صفحه قطبی بر یک نقطه از صفحه مختصات x و y متنطبق شود. مطابق روابط زیر:

$$x = r \cos \theta \quad (4)$$

$$y = r \sin \theta \quad (5)$$

جدول(۲): مدت زمان رسیدن به $D_{\text{z}} = 7 \text{ Gy}$ برای فاصله‌های مختلف.

فاصله (سانتی‌متر)	زمان تابش دهنی (ثانیه)
۰/۵	۱۵
۱	۵۵
۲	۲۲۰
۳	۴۹۵
۴	۸۸۰
۵	۱۳۷۵
۶	۱۹۸۰
۷	۲۶۹۵
۸	۳۵۲۰
۹	۴۴۰۵
۱۰	۵۵۰۰

اندازه‌گیری دز نسبی توسط روابط ارائه شده در

AAPM(TG43U1) به صورت زیر محاسبه می‌گردد:

$$F(r, \theta) = \frac{\dot{D}(r, \theta) G(r, \pi/2)}{\dot{D}(r, \pi/2) G(r, \theta)} \quad (8)$$

جایی که $\dot{D}(r, \theta)$ و $\dot{D}(r, \pi/2)$ به ترتیب آهنگ دز در فاصله r سانتی‌متر و زاویه θ و آهنگ دز در فاصله r سانتی‌متر و زاویه 90° درجه هستند.

در این تحقیق برای انجام آزمایش‌ها برای فواصل کمتر از ۱ سانتی‌متر با توجه به کم بودن فاصله نمی‌توان با برش‌کاری با لیزر تمامی زاویه‌ها را پوشش داد به همین دلیل برای فاصله $/5$ ۰۱ سانتی‌متر به ترتیب ۲ و ۷ سوراخ ایجاد شده تا TLDها در آن قرار داده شوند. برای فواصل بیشتر از ۲ تا ۱۰ سانتی‌متر ۱۷ برش برای قرارگیری عمودی (سطح آشکارساز رو به چشم) تعییه شد. در این تحقیق برای صحت آزمایش انجام شده، برای هر فاصله خاص حداقل سه بار تحت بررسی قرار گرفته و در نهایت با میانگین‌گیری از دز بدست آمده در هر سه مرحله دز نهایی برای آن فاصله و زاویه خاص گزارش شد. درصد خطای گزارش شده نسبی نیز بر اساس میانگین-گیری از خطاهای بدست آمده (از سه مرحله قرارگیری آشکارسازها در هر فاصله خاص) در مقایسه با نتایج بدست آمده برای چشم‌های ایریدیوم حاصل از TG43U1 است.

۳. نتایج

۱.۳. ثابت آهنگ دز (۸)

مقدار به دست آمده ثابت آهنگ دز برای چشم‌های ایریدیوم برابر $1/13 \pm 0.07$ می‌باشد. این مقدار برای چشم‌های مختلف متغیر بوده و با تغییر جنس فانتوم، ابعاد فانتوم، جنس ماده پس‌بولکتندۀ، انرژی تابش و اندازه دزیمترها قابل تغییر می‌باشد [۵]. در جدول ۳ مقایسه‌ای میان نتیجه بدست آمده و دیگر نتایج مشابه نشان داده شده است.

۲.۳. فاکتور هندسه چشم (G(r,θ))

مقادیر محاسبه شده برای فاکتور هندسی در جدول ۴ گزارش شده است. همان‌طور که ملاحظه می‌شود، با افزایش فاصله از چشم‌های مقادیر فاکتور هندسی کاهش می‌یابد و این مقادیر در فواصل دورتر تقریباً یکسان می‌شوند که نشان‌دهنده تقریب چشم‌های در فاصله‌های دورتر می‌باشد. مقادیر فاکتور هندسی برای زاویه‌هایی که نسبت به محور عمود بر

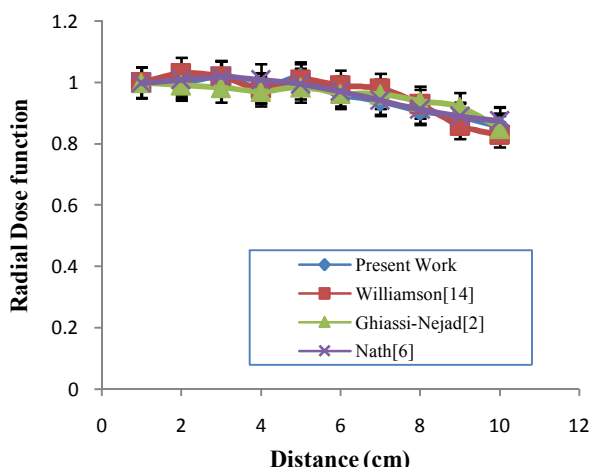
برای این که پاسخ آشکارسازهای در فواصل مختلف با یکدیگر قابل مقایسه باشد، باید حد دز و زمان TLDها در مقابل چشم محاسبه شود. به این صورت برای این که همه آشکارسازهایی به دز ۷ سانتی‌گری برسند با توجه با اکتیویته ۱۴۰ میلی‌کوری آن، زمان برای فواصل مختلف مطابق مطابق جدول ۲ است.

۳.۳. تابع دز شعاعی ($g(r)$)

مقادیر مربوط به تابع دز شعاعی در فواصل ۱ تا ۱۰ سانتی-متری در جدول ۵ نشان داده شده است. مقایسه میان تابع دز شعاعی حاصل از این پژوهه و نتایج مربوط به دیگر چشممه‌های برآکتی تراپی که مشابه می‌یاشد در شکل ۳ آمده است. این نمودار نشان می‌دهد که با افزایش فاصله از چشممه مقدار تابع دز شعاعی کاهش می‌یابد. اختلاف موجود در نتایج ناشی از تفاوت در ساختار و ابعاد کپسول می‌باشد.

جدول (۵): مقادیر تابع دز شعاعی چشممه ایریدیوم-۱۹۲

فاصله (سانتی‌متر)	تابع دز شعاعی
۱	۱
۲	۰/۹۹۹
۳	۱/۰۱۸
۴	۰/۹۸۳
۵	۱/۰۱۶
۶	۰/۹۶۳
۷	۰/۹۲۴
۸	۰/۹۰۸
۹	۰/۸۸۸
۱۰	۰/۸۵۷



شکل (۳): مقایسه مقادیر تابع دز شعاعی با دیگر تحقیقات مشابه.

چشممه تقارن دارند و در فاصله یکسانی از چشممه قرار گرفته‌اند برابر است.

جدول (۳): مقایسه میان چشممه ایریدیوم-۱۹۲ و دیگر چشممه‌های مشابه.

چشممه	فانتووم	روش	ثابت آهنگ دز، Δ
Williamson [13]	کروی آب	مونت کارلو	۱/۱۲۸±۰/۰۰۵
Nath [6]	Solid Water	ترمولومینسانس (TLD)	۱/۱۲۰±۰/۲۷۰
Weaver [18]	Solid Water	ترمولومینسانس (TLD)	۱/۱۱۰±۰/۱۵۰
Ghiassi-Nejad [2]	Plexiglass	ترمولومینسانس (TLD)	۱/۱۹۶±۰/۰۶۰
Williamson [14]	Solid Water	مونت کارلو	۱/۱۲۱±۰/۰۰۳
Meigooni [4]	Solid Water	ترمولومینسانس (TLD)	۱/۰۸۴±۰/۰۴۰
این تحقیق	Plexiglass	ترمولومینسانس (TLD)	۱/۱۳۰±۰/۰۰۷

جدول (۴): مقادیر فاکتور هندسه برای چشممه ایریدیوم-۱۹۲

فاصله (سانتی‌متر)	۹	۷	۵	۳	۱	زاویه (درجه)
صفر	۰/۰۱۳۲	۰/۰۲۱۱	۰/۰۴۰۸	۰/۱۱۱۴	۱/۰۲۳۰	
۱۰	۰/۰۱۳۱	۰/۰۲۱۰	۰/۰۴۰۷	۰/۱۱۱۳	۱/۰۲۲۰	
۲۰	۰/۰۱۲۹	۰/۰۲۹۰	۰/۰۴۰۵	۰/۱۱۱۳	۱/۰۱۹۲	
۳۰	۰/۰۱۲۹	۰/۰۲۹۰	۰/۰۴۰۵	۰/۱۱۱۲	۱/۰۱۵۱	
۴۰	۰/۰۱۲۸	۰/۰۲۸۰	۰/۰۴۰۴	۰/۱۱۱۲	۱/۰۱۰۰	
۵۰	۰/۰۱۲۸	۰/۰۲۰۷	۰/۰۴۰۲	۰/۱۱۱۱	۱/۰۰۴۷	
۶۰	۰/۰۱۲۷	۰/۰۲۰۷	۰/۰۴۰۱	۰/۱۱۱۱	۱	
۷۰	۰/۰۱۲۶	۰/۰۲۰۶	۰/۰۳۹۹	۰/۱۱۱۰	۰/۹۹۵۹	
۸۰	۰/۰۱۲۵	۰/۰۲۰۶	۰/۰۳۹۹	۰/۱۱۱۰	۰/۹۹۳۴	
۹۰	۰/۰۱۲۳	۰/۰۳۹۹	۰/۰۳۹۹	۰/۱۱۱۰	۰/۹۹۲۶	

۴. بحث و نتیجه‌گیری

مشخصه‌های دزیمتری چشمه برآکی تراپی ایریدیوم-۱۹۲ تولیدی سازمان انرژی اتمی ایران به وسیله فرمولبندی TG-43 در یک فانتوم معادل بافت از جنس پلکسی‌گلاس به-دست آمد. میزان اختلاف (انحراف معیار) داده‌های استخراج شده در این تحقیق با استاندارد TG-43 حداقل ۱۰٪ اندازه-گیری شده است. این اختلاف حاصل از تفاوت‌هایی در اندازه-چشم، جنس فانتوم، محیط و عوامل فردی بوده و توافق مناسبی میان داده‌های این تحقیق و دیگر تحقیقات مشابه را نشان می‌دهد.

در این تحقیق مقدار ثابت آهنگ دز چشمه $1/13 \pm 0/07$ به دست آمد که با مقادیر حاصل از دیگر تحقیقات مشابه مقایسه شده و توافق مناسبی میان مقادیر مشاهده می‌شود. تابع دز شعاعی، (r) ، چشمه ایریدیوم-۱۹۲ به کمک فانتوم‌های مورد مطالعه و آشکارسازهای (TLD) مورد استفاده در زوایای مناسب و فواصل مختلف از ۱ سانتی‌متر تا ۱۰ سانتی‌متر مطابق جدول ۳ به دست آمده است. مقادیر تابع ناهمسان‌گردی چشمه ایریدیوم-۱۹۲ برای زوایای صفر تا ۱۸۰ درجه و فواصل ۳، ۲، ۱ و ۵ سانتی‌متر با دیگر تحقیقات مشابه مقایسه شده که شکل ۴ مربوط به فاصله ۲ سانتی‌متر توافق مناسبی میان این مقادیر را نشان می‌دهد. با توجه به این که طراحی فانتوم و استفاده از دزیمتر TLD مطابق توصیه پروتکل AAPM TG-43 بود، نتایج حاصله نشان‌دهنده آن است که این چشمه جدید از صحت و اعتبار لازم برای استفاده در مقاصد بالینی برخوردار است.

۵. تشکر و قدردانی

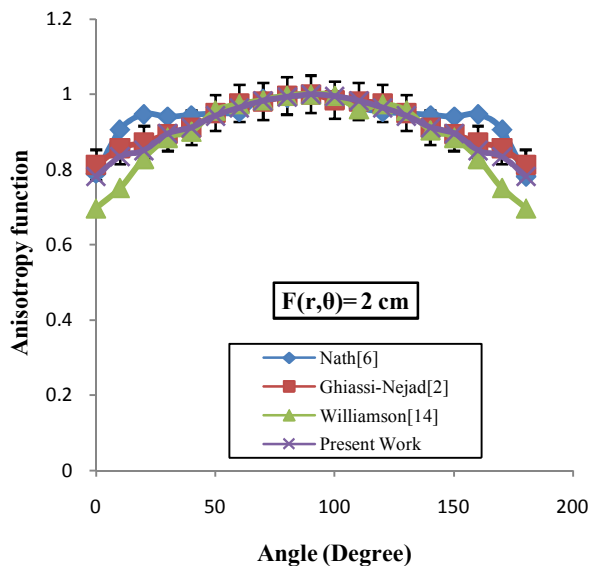
در پایان، نویسنده‌لازم می‌داند که از حمایت پژوهشگاه علوم هسته‌ای سازمان انرژی اتمی کمال تشکر و قدردانی را نماید.

۴.۳. تابع ناهمسان‌گردی ($F(r,\theta)$)

با توجه به وابستگی تابع ناهمسان‌گردی به زاویه، در زاویه‌های نزدیک به محور موازی چشمه مقدار تابع ناهمسان-گردی به کمینه مقدار خود می‌رسد. در جدول شماره ۶ مقادیر تابع ناهمسان‌گردی با استفاده از آشکارسازها با دیگر تحقیقات مشابه مقایسه شده که نشان از توافق نسبی میان داده‌های این تحقیق و کارهای مشابه دارند.

جدول (۶): مقایسه تابع ناهمسان‌گردی چشمه ایریدیوم-۱۹۲ با دیگر چشمدها.

زاویه	Williamson [14]	Ghiassi-Nejad [2]	Nath et al [6]	این تحقیق
۰	۰/۶۹۷	۰/۸۱۲	۰/۷۸۸	۰/۷۸۲
۱۰	۰/۷۵۱	۰/۸۵۷	۰/۹۰۶	۰/۸۳۴
۲۰	۰/۸۲۹	۰/۸۷۲	۰/۹۴۷	۰/۸۵۱
۳۰	۰/۸۸۵	۰/۸۹۴	۰/۹۴۱	۰/۸۹۶
۴۰	۰/۹۰۱	۰/۹۱۱	۰/۹۴۵	۰/۹۱۲
۵۰	۰/۹۵۷	۰/۹۵۱	۰/۹۴۹	۰/۹۴۳
۶۰	۰/۹۷۴	۰/۹۷۶	۰/۹۵۳	۰/۹۶۵
۷۰	۰/۹۸۵	۰/۹۸۱	۰/۹۸۹	۰/۹۸۳
۸۰	۰/۹۹۷	۰/۹۹۶	۰/۹۹۱	۰/۹۹۳
۹۰	۰/۹۹۷	۰/۹۹۶	۰/۹۹۱	۱



شکل (۴): مقایسه توابع ناهمسان‌گردی با دیگر تحقیقات مشابه.

۶. مراجع

- [1] ICRU, Report 44. Tissue substitutes in radiation dosimetry and measurement. Report 44 Bethesda, MD20814: ICRU Publications, (1989).
- [2] M. Ghiassi-Nejad, M. Jafarizadeh, M.R. Ahmadian-Pour , A.R. Ghahramani. Dosimetric characteristics of ^{192}Ir sources used in interstitial brachytherapy, *Applied Radiation and Isotope* , 55 (2001) 189–195.
- [3] V. Lohrabian, S. Sheibani, M.R. Aghamiri, B. Ghozati, H. Pourbeigi, H.R. Baghani. Determination of Dosimetric Characteristics of IrSeed 125I BrachytherapySource, *Iranian Journal of Med Phys*, 10(3) (2013) 109–117.
- [4] A.S. Meigooni, M.M. Yoe-Sein, A.Y. Al-Otoom, K.T. Sowards. Determination of the Dosimetric characteristics of InterSource ^{125}I odine brachytherapy source, *Applied Radiation and Isotope*, 56 (2002) 589–599.
- [5] A.S. Meigooni, V. Misha, H. Panth, J.F. Williamson. Instrumentation and dosimeter-size artifacts in quantitative thermoluminescentdosimetry of low-dose field, *Med Phys*, 22 (1995) 555–561.
- [6] R. Nath, L.L. Anderson, G. Luxton, K.A. Weaver, J.F. Williamson, A.S. Meigooni. Dosimetry of interstitial brachytherapy source: recommendations of the AAPM Radiation Therapy Committee Task Group No. 43, *Med Phys*, 22 (1995) 209–234.
- [7] V. Lohrabian, S. Sheibani, M.R. Aghamiri, B. Ghozati, H. Pourbeigi, M. Havasian. Determination of dosimetric parameters of new brachytherapy seed (^{125}Ir Seed) using EBT radiochromic film and TL dosimeters, *Journal of Ilam University of Medical Sciences* 21(1) (2013) 78–88.
- [8] M.J. Rivard, B.M. Coursey, L.A. DeWerd, W.F. Hanson, M. SaifulHuq, G.S. Ibbott, M.G. Mitch, R. Nath, J.F. Williamson. Update of AAPM Task Group No. 43 Report: A revised AAPM protocol for brachytherapy dose calculations, *Med Phys*, 31 (2004) 633–674.
- [9] G. Raisali, F. MokhlesGerami, R. Khodadadi, B. Piroozfar. Determination of dosimetry parameters for low energy brachytherapy sources based upon TG-43U1 protocol using different MCNP tallies, *J Nuclear Science and technology*, 35 (2006) 29–36.
- [10] T.D. Solberg, J.J. DeMarco, G. Hugo, R.E. Wallace. Dosimetric parameters of three new solid core I-125 brachytherapy source, *Med Phys*, 3(2) (2004) 119–134.
- [11] R.E. Wallace, J.J. Fan. Report on the dosimetry of a new design ^{125}I brachytherapy source, *Med Phys*, 26(9) (1999) 1925–1931.
- [12] J.F. Williamson. Comparison of measured and calculated dose rates in water near ^{125}I and ^{192}Ir seeds, *Med Phys*, 18(4) (1991) 776–785.
- [13] J.F. Williamson, A.S. Meigooni. Quantitative dosimetry methods in brachytherapy: in brachytherapy physics, edited by Williamson JF, Nath R, and Thomadsen R, *Med Phys*, (1995) 87.
- [14] J.F. Williamson. Comparison of measured and calculated dose rates in water near 125I and 192Ir seeds, *Med. Phys*, 18 (1991) 776.
- [15] J.F. Williamson. Comparison of measured and calculated dose rates in water near I-125 and Ir-192 seeds, *Med Phys*, 18(4) (1991) 776–86.
- [16] M.J. Zelefsky, W.F. Whitmore. Long-term results of retropubic permanent ^{125}I odine implantation of prostate for clinically localized prostatic cancer, *J. Urol. (Paris)*, 158 (1997) 23–30.
- [17] H.R. Baghani, V. Lohrabian, M.R. Aghamiri, M. Robatjazi. Monte Carlo Determination of Dosimetric Parameters of a new 125I brachytherapy source According to AAPM TG-43U1 protocol, *Archives of Iranian Medicine*, 19(3) (2016) 186–91.
- [18] K. Weaver, V. Smith, D. Huang, C. Barnett, M. Schell, C. Ling. Dose parameters of 125I and 192Ir seeds, *Med. Phys*, 16 (1989) 636.